

УДК 621.315.592 : 534.28

## ПОГЛОЩЕНИЕ АКУСТИЧЕСКИХ ВОЛН В КРИСТАЛЛАХ $\text{YAlO}_3$ и $\text{Y}_{0.9}\text{Lu}_{0.1}\text{AlO}_3$

*C. Н. Иванов, А. Г. Козорезов, В. В. Медведь,  
А. Б. Рахманов, С. А. Смирнова*

Показано, что резкая зависимость коэффициента поглощения (КП) продольных акустических волн (АВ) от температуры при низких температурах в  $\text{YAlO}_3$  обусловлена дисперсией скорости акустических фононов. Объяснены особенности поглощения продольных и сдвиговых АВ в твердом растворе  $\text{Y}_{0.9}\text{Lu}_{0.1}\text{AlO}_3$ . Наличие в этих кристаллах интенсивных процессов квазиупругого рассеяния фононов приводит к существенному изменению величины и характера поглощения АВ по сравнению с чистым кристаллом (матрицей). Измерены скорости продольных и сдвиговых АВ в этих кристаллах.

Алюминат иттрия ( $\text{YAlO}_3$ ) известен как перспективный лазерный материал [1-3]. Он относится к кристаллам ромбической сингонии пространственной группы  $D_{2h}^{18}$ . Параметры элементарной ячейки  $a=5.330 \text{ \AA}$ ,  $b=5.180 \text{ \AA}$ ,  $c=7.375 \text{ \AA}$ ;  $\alpha=91.6^\circ$ ,  $\beta=\gamma=90^\circ$ , плотность  $5.18 \text{ г/см}^3$ , температура плавления  $1875^\circ\text{C}$ , теплопроводность (при  $25^\circ\text{C}$ )  $0.11 \text{ Вт/см\cdotград.}$ , твердость, по Кнутшу,  $1310$  [4].

Приведенные физические характеристики  $\text{YAlO}_3$  свидетельствуют (см. классификацию работы [5]) о его перспективности как материала для микроволновой акустики. Однако акустические свойства этого кристалла не исследованы. Еще одно свойство  $\text{YAlO}_3$  привлекательно для акустических исследований — возможность получения на его основе твердых растворов путем замещения иттрия на атомы редкоземельных элементов [2]. В твердых растворах замещения имеет место сильное фонон-примесное рассеяние, и распространение АВ в них обладает рядом интересных особенностей [6-9].

Наиболее подробно изучены твердые растворы иттрий-редкоземельного алюминиевого граната (ИАГ : R). В отличие от ИАГ : R кристаллы алюмината иттрия обладают более низкой симметрией и в них (как будет показано в дальнейшем) заметную роль играют эффекты дисперсии скорости акустических фононов. Поэтому исследования распространения АВ в твердых растворах алюмината иттрия представляют особый интерес.

Кристаллы  $\text{YAlO}_3$  и  $\text{Y}_{0.9}\text{Lu}_{0.1}\text{AlO}_3$  выращивались методом горизонтальной направленной кристаллизации в молибденовых тиглях. Образцы ориентировались вдоль направления  $\langle 001 \rangle$ . Для них были измерены поглощение, скорость и температурный коэффициент задержки (ТКЗ) продольных и сдвиговых АВ, которые возбуждались пленочными пьезопреобразователями из окиси цинка. Измерения поглощения АВ проводились стандартным эхо-импульсным методом в диапазоне частот  $0.5-9.4 \text{ ГГц}$  и в интервале температур  $4.2-300 \text{ K}$ . Измерения скорости осуществлялись с помощью задержанной развертки на осциллографе С1-70. ТКЗ определялся по результатам измерений скорости в интервале  $T \approx 80 \div 300 \text{ K}$ .

В кристаллах  $\text{YAlO}_3$ , ориентированных в направлении  $\langle 001 \rangle$ , скорости АВ (см/с) равны:  $v_{\text{пп}} \approx 7.94 \cdot 10^5$ ,  $v_{\text{сдв}}^b \approx 5.44 \cdot 10^5$ ,  $v_{\text{сдв}}^m \approx 4.39 \cdot 10^5$ . Измеренные значения скоростей и значение плотности из [4] позволили определить

лить ряд модулей упругости второго порядка (дин/см<sup>2</sup>):  $C_{55} \approx 32.7 \cdot 10^{11}$ ,  $C_{22} \approx 15.3 \cdot 10^{11}$ ,  $C_{33} \approx 10.5 \cdot 10^{11}$ .

Значение ТКЗ для продольных АВ, усредненное в интервале температур 80—300 К, оказалось равным  $(2 \div 3) \cdot 10^{-5}$  К<sup>-1</sup>, что не хуже, чем в некоторых традиционных акустических материалах (для  $\text{Y}_3\text{Al}_5\text{O}_{12}^{(100)}$  —  $4 \cdot 10^{-5}$  К<sup>-1</sup>). Скорости продольных и сдвиговых АВ в образцах  $\text{Y}_{0.9}\text{Lu}_{0.1}\text{AlO}_3$  той же ориентации, что и матрица, возросли:  $v_{\text{пр}} \approx 8.39 \cdot 10^5$ ,  $v_{\text{сдв}}^{\text{М}} \approx 4.7 \times 10^5$  см/с; ТКЗ  $\approx 6 \cdot 10^{-5}$  К<sup>-1</sup>. Это указывает на увеличение соответствующей плотности кристалла ( $M_{\text{Lu}} \approx M_{\text{Y}}$ ,  $\rho/\rho' \approx 0.97$ ).

Зависимости КП продольных АВ от температуры в  $\text{YAlO}_3$  для ряда частот показаны на рис. 1. В области  $T \approx 30 \div 50$  К КП продольных АВ не зависит от частоты и пропорционален  $T^{7 \div 9}$ . При  $T > 70$  К зависимость КП от температуры становится слабее, и в области температур 200—300 К КП практически не зависит от температуры.

Зависимость КП продольных АВ вида  $\alpha \sim T^{7 \div 9} \omega_s^0$  в некотором частот-

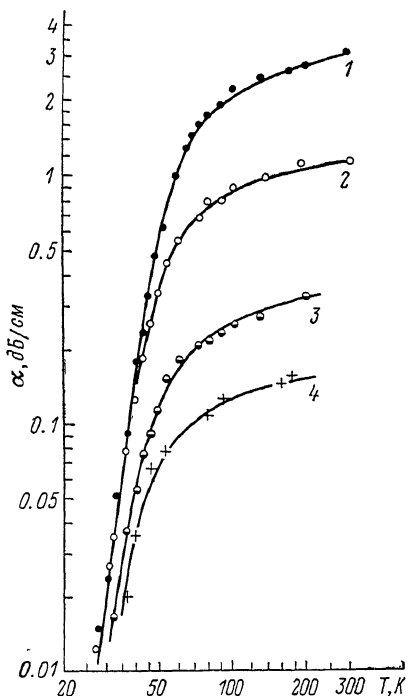


Рис. 1. Зависимость поглощения продольных АВ от температуры в  $\text{YAlO}_3$  для частот 2.5 (1), 1.5 (2), 0.8 (3), 0.5 ГГц (4).

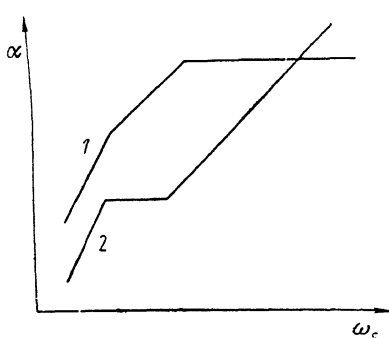


Рис. 2. Теоретические зависимости КП продольных АВ от частоты.

ном и температурном интервале может быть связана с дисперсией скорости акустических фононов или с анизотропией модулей упругости третьего порядка [10].

Идентифицировать природу участка  $T^{7 \div 9}$  на температурной зависимости КП можно по поведению КП в области низких температур. При влиянии дисперсии на процесс взаимодействия зависимость типа  $T^{7 \div 9}$  должна сохраняться и в области еще более низких температур. При анизотропии упругих модулей третьего порядка с понижением температуры и ростом параметра  $\omega_s \tau_f$  (где  $\omega_s$  — частота АВ,  $\tau_f$  — время фонон-фононной релаксации) температурная зависимость КП ослабляется и должна следовать закону  $T^4$ . На эксперименте, однако, при  $T \leq 10 \div 15$  К величина КП очень мала и сколько-нибудь надежные измерения невозможны.

В этих условиях более информативным может оказаться исследование зависимостей КП от частоты. На рис. 2 схематически изображены теоретические зависимости КП продольных АВ от частоты: 1 — для кристалла с заметной дисперсией скорости акустических фононов, 2 — для кристалла с сильной анизотропией упругих модулей третьего порядка. На обеих зависимостях имеются участки, где КП не зависит от частоты. Для кри-

сталла с дисперсией на этом участке температурная зависимость должна следовать закону  $T^7$ , а для кристалла с сильной анизотропией модулей упругости третьего порядка —  $T^9$  [10]. Характер зависимости КП АВ от частоты в рассматриваемых случаях различный. Так, область «плато» в кристалле с дисперсией сменяет область линейного роста и «плато» простирается вплоть до самых высоких частот, пока основной вклад в поглощение

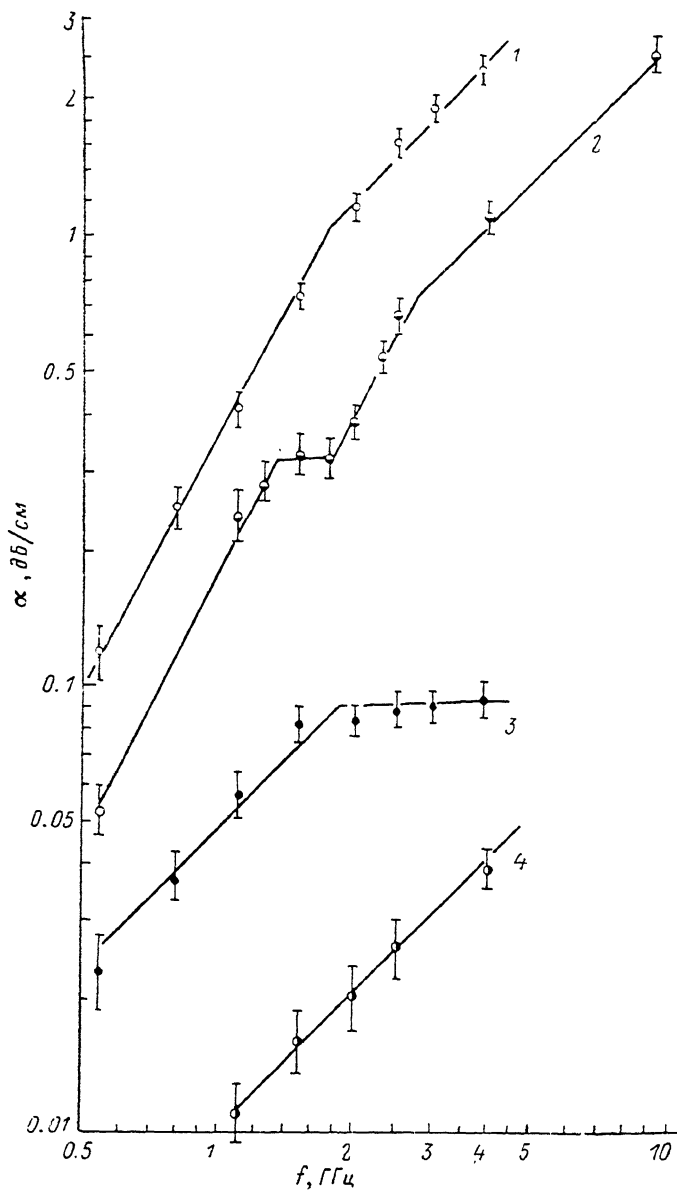


Рис. 3. Зависимость поглощения продольных АВ от частоты в  $\text{YAlO}_3$  (1, 3) и  $\text{Y}_{0.9}\text{Lu}_{0.1}\text{AlO}_3$  (2, 4).  $T \approx 80$  (1, 2),  $\approx 35$  (3),  $\approx 30$  К (4).

вносят трехфононные процессы взаимодействия почти коллинеарных фононов. Для кристаллов с сильной анизотропией модулей упругости третьего порядка характерным является переход от квадратичной зависимости КП в ахизеровском режиме к слабой зависимости («плато») при более высоких частотах, которая затем сменяется участком линейного роста.

На рис. 3 приведены экспериментальные зависимости КП продольной АВ от частоты. Кривая 1 ( $T \approx 80$  К) иллюстрирует переход от механизма

Ахиезера  $\alpha \sim \omega_s^2$  к трехфононному механизму взаимодействия  $\alpha \sim \omega_s$ , т. е. иллюстрирует левый перегиб кривой 1 рис. 2. При  $T \approx 35$  К (кривая 3) на частотах выше 1.8 ГГц КП продольных АВ имеет «плато» ( $\alpha \sim \omega_s^0$ ), которое сменяет линейную зависимость КП от частоты (правый перегиб кривой 1 на рис. 2). Зависимость КП продольных АВ от частоты свидетельствует о проявлении эффектов дисперсии скорости акустических фононов в кристаллах  $\text{YAlO}_3$ .

Если кристаллы содержат большое количество примесей, то в поглощении продольных АВ возникает ряд особенностей, обусловленных конкуренцией между процессами упругого рассеяния фононов на примесях и процессами фонон-фононного взаимодействия [7]. Отличия в характере поглощения АВ в примесном кристалле и матрице возникают в области температур, которая для матрицы соответствует переходу от ахиезеров-

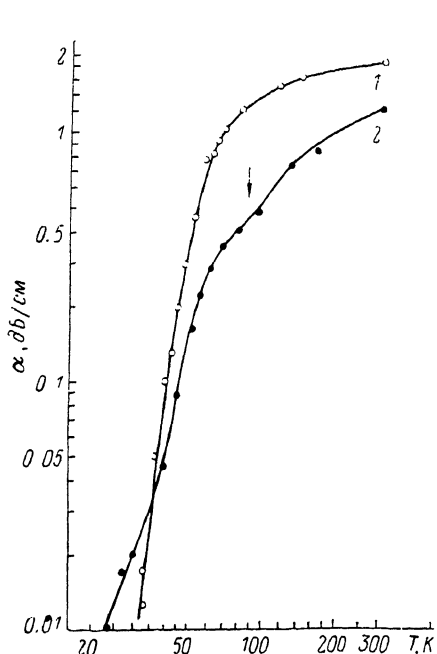


Рис. 4. Зависимость поглощения продольных АВ от температуры на частоте 2 ГГц в  $\text{YAlO}_3$  (1) и  $\text{Y}_{0.9}\text{Lu}_{0.1}\text{AlO}_3$  (2).

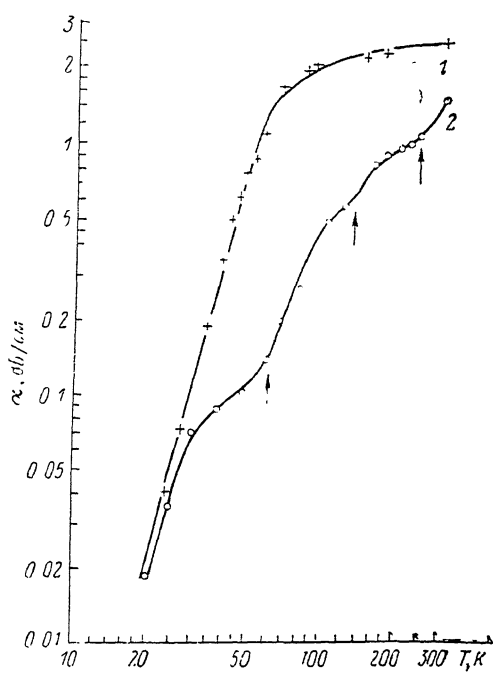


Рис. 5. Зависимость поглощения медленной сдвиговой АВ в  $\text{YAlO}_3$  (1) и  $\text{Y}_{0.9}\text{Lu}_{0.1}\text{AlO}_3$  (2) от температуры на частоте 1.5 ГГц.

ского режима поглощения к поглощению из-за трехфононных взаимодействий, т. е. при  $\omega_s \tau_f \approx 1$ . Для СВЧ диапазона эта область температур порядка нескольких десятков градусов Кельвина (см., например, рис. 3, 3), поэтому все указанные особенности легко наблюдались на эксперименте. Покажем, что и в кристаллах с примесями эффекты дисперсии фононов и анизотропии упругих модулей третьего порядка приводят к качественно разным особенностям на зависимости КП продольных АВ от температуры.

Рассмотрим сначала случай, когда заметную роль играет дисперсия фононов. В области высоких температур ( $\omega_s \tau_f \ll 1$ ) поглощение в примесном кристалле не отличается от поглощения в матрице, если предположить, что  $\tau_f$  одинаково в кристалле с примесями и матрице. В области более низких температур ( $\omega_s \tau_f > 1$ , но  $\omega_s \tau_0 < 1$ ;  $\tau_0$  — время фонон-примесной релаксации) на температурной зависимости КП в примесном кристалле возникает уменьшение поглощения по сравнению с матрицей [7]. При дальнейшем понижении температуры и переходе к режиму трехфононных взаимодействий ( $\omega_s \tau_f, \omega_s \tau_0 \gg 1$ ) зависимости и величина КП в примесном кристалле и матрице вновь должны оказаться идентичными. При еще более низких температурах температурная зависимость

КП в матрице станет сильной ( $\sim T^7$ ) из-за того, что дефицит энергии в трехфононном процессе с участием продольных фононов не может быть покрыт «размазкой» из-за столкновений фононов. В примесном кристалле в тех же условиях трехфононные процессы тем не менее интенсивны по-прежнему, так как «размазка»  $\hbar/\tau$  здесь определяется меньшим временем фонон-примесной релаксации. Зависимость от температуры здесь более плавная, а абсолютная величина КП выше, чем в матрице. Итак, в случае дисперсии фононов на температурной зависимости КП в примесном кристалле по сравнению с матрицей появляются две характерные области. В первой из них поглощение в примесном кристалле ниже, а во второй выше, чем в матрице.

Иначе должна выглядеть температурная зависимость поглощения в примесном кристалле по сравнению с матрицей в условиях анизотропии упругих модулей третьего порядка. Здесь при переходе к области температур, где в матрице поглощение определяется трехфононными взаимодействиями ( $\omega_s \tau_f > 1$ , но  $\omega_s \tau_0 < 1$ ), в примесном кристалле не должно наблюдаться уменьшение поглощения по сравнению с матрицей и в обоих случаях КП  $\sim T^9 \omega_s^0$  [7, 10].

Однако начиная с некоторой температуры характер температурной зависимости изменится как в примесном кристалле, так и в матрице. В примесном кристалле режим взаимодействия АВ с фононами при условии  $\omega_s \tau_0 < 1$  все еще определяется наличием столкновений фононов с примесями. При  $\omega_s \tau_0 \tau_f > 1$  поглощение контролируется рассеянием фононов на примесях и  $\alpha \sim T^4 \omega_s^2 \tau_0 (T)$  [7]. В матрице в тех же условиях могут реализоваться две возможности: а) поглощение по-прежнему следует закону  $\alpha \sim T^9 \omega_s^0$ ; б) поглощение следует закону  $T^4 \omega_s$ . Случай «б» реализуется при достаточно низких температурах, когда из-за большой величины параметра  $\omega_s \tau_f$  вклад от взаимодействия неколлинеарных продольных фононов становится малым по сравнению с вкладом от коллинеарного взаимодействия. В первом случае, очевидно, поглощение в примесном кристалле станет выше, чем в матрице; во втором случае поглощение вначале выше в матрице, затем — в примесном кристалле. При более низких температурах столкновения в примесном кристалле перестанут играть существенную роль и обе зависимости совпадут.

Подчеркнем, что описанная картина зависимости поглощения от температуры основана на упрощенной модели. В ней не учтена возможная немонотонная зависимость времен релаксации фононов  $\tau_f$  и  $\tau_0$  от температуры, игнорируется зависимость времени фонон-фононной релаксации от наличия примесей. Тем не менее на качественном уровне наблюдение температурной зависимости поглощения в примесном кристалле позволяет сделать вполне определенные выводы о специфике взаимодействия в нем примесей.

На рис. 4 приведена экспериментальная зависимость КП продольной АВ от температуры в кристалле  $Y_{0.9}Lu_{0.1}AlO_3$ . Здесь, как легко видеть, можно выделить несколько характерных участков. В области  $T < T^*$  (на частоте 2 ГГц  $T^* \approx 35$  К) поглощение в твердом растворе больше, при  $35 < T < 45$  К в пределах ошибок измерений равно, а при  $T > 45$  К меньше, чем в матрице. В области  $T \approx 80$  К четко проявляется обозначенный стрелкой минимум по сравнению с матрицей.

Из рис. 4 однозначно следует, что, как и в случае поглощения продольных АВ в матрице, на температурной зависимости поглощения в твердом растворе алюмината иттрия—лютеция проявляются эффекты дисперсии фононов.

Зависимость КП продольных АВ от частоты в твердом растворе  $Y_{0.9}Lu_{0.1}AlO_3$  при  $T \approx 80$  К (рис. 3, 2) качественно совпадает с картиной распространения продольных АВ в примесных кристаллах [7]. При более низких  $T \approx 30$  К (рис. 3, 4) зависимость качественно соответствует результатам [11] для примесных кристаллов с учетом дисперсии фононов. При исследовании твердых растворов, когда условие квазиупругого рассеяния фононов ( $\omega_s \tau_f < 1$ ) выполняется в широком температурном интервале,

естественно ожидать, что это обстоятельство должно существенно проявиться и в случае распространения сдвиговых АВ [8, 12].

На рис. 5 приведены зависимости КП медленной сдвиговой АВ в  $\text{YAlO}_3$  и  $\text{Y}_{0.9}\text{Lu}_{0.1}\text{AlO}_3$  от температуры на частоте 1.5 ГГц. Для образцов  $\text{Y}_{0.9}\text{Lu}_{0.1}\text{AlO}_3$  на такой зависимости проявляются три минимума при  $T \approx 60$ ,  $\approx 140$  и  $\approx 240$  К. В области температур  $T < 70$  К для  $\text{YAlO}_3$  и  $T < 30$  К для  $\text{Y}_{0.9}\text{Lu}_{0.1}\text{AlO}_3$  температурная зависимость КП следует закону  $\alpha \sim T^4$ . Такая зависимость является естественной, поскольку в кристаллах при низких температурах поглощение сдвиговых АВ определяется трехфононным процессом Ландау—Румера  $t+l \rightarrow l$ .

Эффекты дисперсии фононов и анизотропии модулей упругости третьего порядка в случае сдвиговых АВ, очевидно, не играют столь существенной роли, как для поглощения продольной АВ. В области  $T > 30$  К столкновения фононов с примесями являются существенными и определяют общее уменьшение поглощения по сравнению с матрицей. Наиболее интересным представляется наличие трех минимумов на зависимости поглощения сдвиговых АВ от температуры. В отсутствие детальной информации об акустических свойствах  $\text{YAlO}_3$  однозначная интерпретация наблюдаемых особенностей затруднительна.

Можно предположить, что в алюминате иттрия из-за низкой симметрии кристаллической структуры спектральная плотность квадрата смещения примесного атома (от которой зависят характеристики рассеяния фононов) различна для разных направлений смещения атома по отношению к кристаллическим осям и в основном сосредоточена в различных неперекрывающихся спектральных полосах. Поскольку рассеяние фононов на примесях интенсивно в той области частот, где велика спектральная плотность квадрата смещения примесного атома, то в рассматриваемом случае рассеяние фононов может быть особенно интенсивным в нескольких интервалах фононных частот. Соответственно на температурной зависимости КП сдвиговых АВ могут возникнуть в общем случае три минимума.

Таким образом, распространение АВ в твердых растворах на основе алюмината иттрия обладает рядом особенностей, характерных для твердых растворов на основе ИАГ [6] и бората иттрия [12]. На эти особенности примесных кристаллов накладывается специфика распространения АВ в иттриевом алюминате — дисперсия акустических фононов и низкая симметрия его кристаллической решетки.

#### Список литературы

- [1] Каминский А. А., Осико В. В. // Изв. АН СССР. неорг. матер. 1970. Т. 6. № 4. С. 629—640.
- [2] Арсеньев П. А., Багдасаров Х. С., Курбанов Х. М., Фенин В. В. Выращивание диэлектрических лазерных кристаллов. Душанбе: Дониш, 1986. 256 с.
- [3] Butaeva Т. I., Kaminskii A. A., Ovanesyan K. I., Petrosyan A. G. // Cryst. Research Techn. 1986. V. 21. N 12. P. 1577—1581.
- [4] Weber M. T., Bass M., Andringa K., Monchamp R. R., Comperchio E. // Appl. Phys. Lett. 1969. V. 15. N 8. P. 342—350.
- [5] Pehwald Walther Int. Conf. on Phonon Scatt. in Solids. Paris, July 3—6, 1973. Р. 45—48.
- [6] Гуляев Ю. В., Иванов С. Н. и др. // ЖЭТФ. 1983. Т. 84. № 2. С. 672—678; Иванов С. Н., Медведь В. В., Котелянский И. М., Хазанов Е. Н. // ФТТ. 1986. Т. 28. № 10. С. 2941—2945.
- [7] Гуляев Ю. В., Козорезов А. Г. // ЖЭТФ. 1982. Т. 82. № 5. С. 1551—1561.
- [8] Гуляев Ю. В., Козорезов А. Г., Красильников М. В. // ФТТ. 1985. Т. 27. № 8. С. 2397—2405.
- [9] Акустические кристаллы / Под ред. М. П. Шаскольской. М.: Наука, 1982. 632 с.
- [10] Такер Дж., Рэмптон В. Гиперзвук в физике твердого тела. М.: Мир, 1975. 453 с.
- [11] Козогезов А. Г. // Phys. Lett. 1983. V. 98A. N 5, 6. P. 261—265.
- [12] Гуляев Ю. В., Иванов С. Н., Котелянский И. М. и др. // Письма в ЖТФ. 1986. Т. 12. № 1. С. 18—21.